

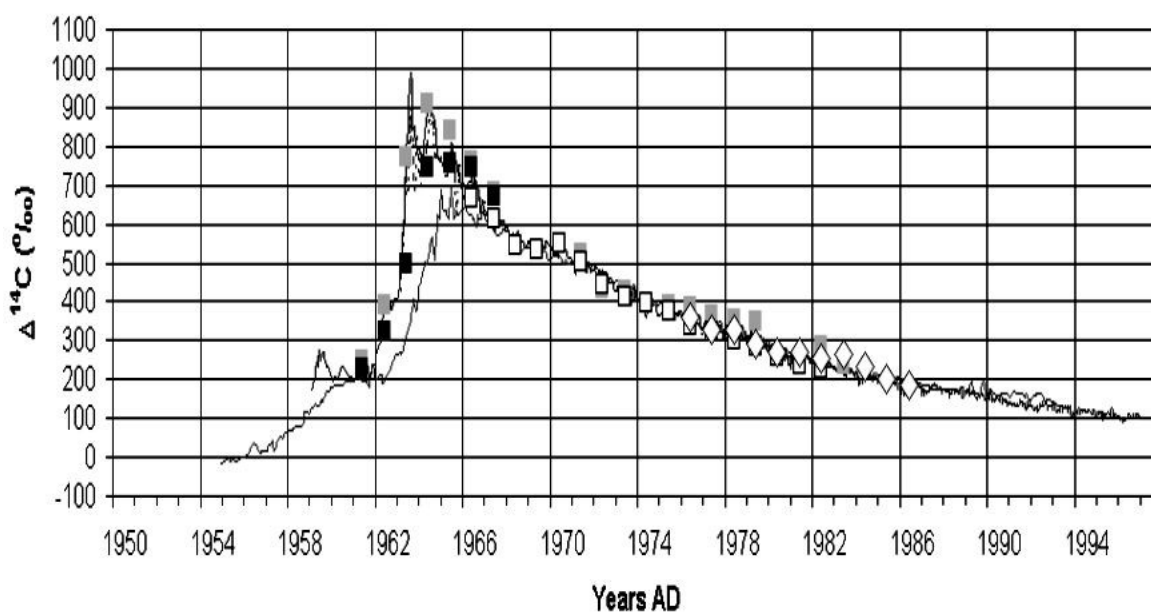
## Краткое сообщение

А.М. Германский

### Эпидемия коронавируса как эхо ядерных испытаний в атмосфере

С позиции радиоуглеродного механизма старения (РМС) [1, 2], в индустриально и социально развитых странах, где общая смертность наиболее близка к естественной, следует ожидать период ее подъема и последующий спад. Согласно динамике содержания радиоуглерода в биосфере, показанной на рисунке 1, в этот процесс будет вовлечено население, родившееся в период с 1956 по конец 90-х. При этом координаты максимума  $M$  естественной смертности населения той или иной возрастной группы на исторической шкале будут соответствовать максимуму концентрации радиоуглерода в биосфере (1966 г. см. рисунок 1) плюс возраст группы  $t$ :  $M = t + (1966 \pm 2)$ , год.

Этот прогноз был опубликован в работе [1] еще в 2013 году, задолго до происходящих в настоящее время драматических эпидемиологических событий, что исключает его конъюнктурную направленность.

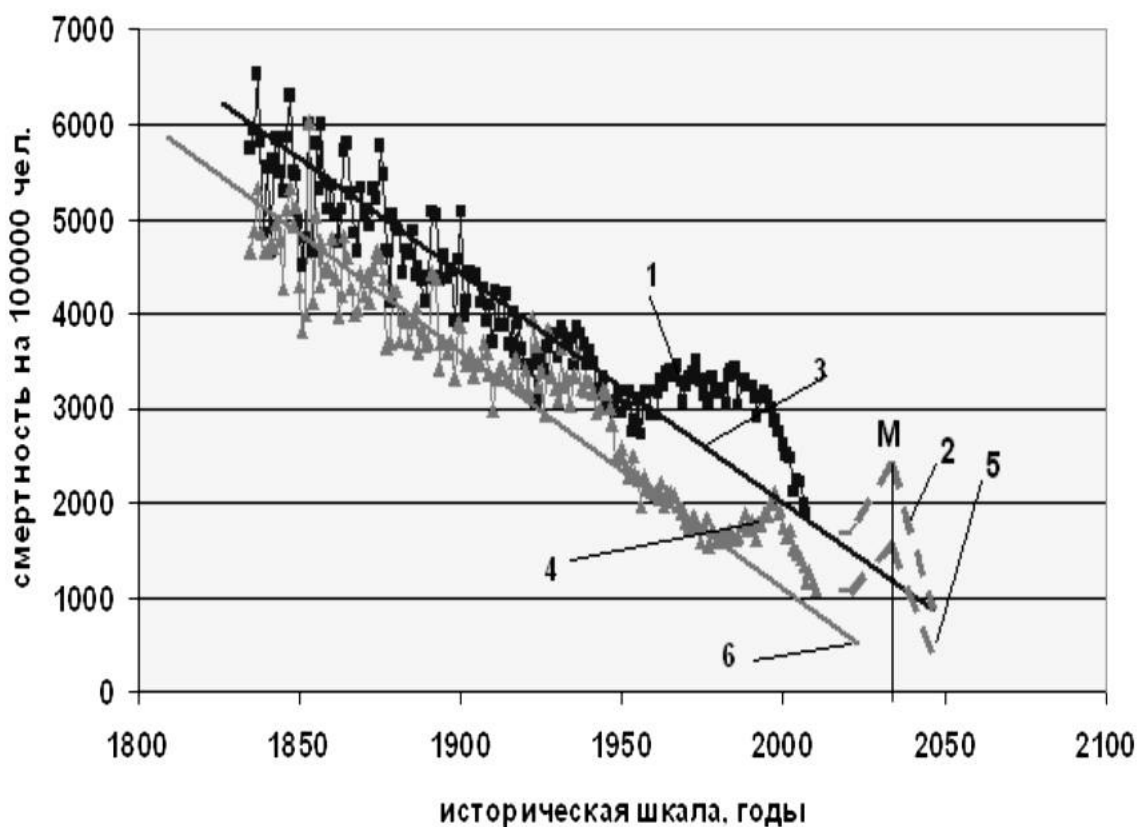


**D14C in the Northern Hemisphere at middle latitudes. Lines and dots represent atmospheric and tree-ring data, respectively. Error bars are too small to be shown**

- Vermont, Austria 47°N, 10°E, (1959-1983)(Levin et al., 1994)
- ..... Izana, Canary Islands 28°22'N, 16°30'W, (1963-1967)(Nydal & Lovseth, 1996)
- Spruce, Dailing, China 47°30'N, 129°16'E (1961-1967)(Dai & Fan, 1986)
- White Spruce, Mingyin, China 27°13'N, 100°20'E (1961-1967)(Dai & Fan, 1986)
- Pine, Obrigheim, Germany 49°N, 9°E (1966-1982)(Levin et al., 1985)
- Wellington, New Zealand 41°18'S, 174°48'E (1954-1993)(Manning & Melhuish, 1994)
- ◇ Oak, Solling, Germany 51°45'N, 9°30'E (1964, 1976-1986)(Worbes & Junk, 1989)
- Schauinsland, Germany 48°N, 8°E, (1976-1997)(Levin et al., 1994)

*Рисунок 1. Содержания радиоуглерода в годичных кольцах деревьев*

На рисунке 2 в качестве иллюстрации на примере естественной смертности населения Дании показана фактическая и прогнозируемая динамики естественной смертности населения Западной Европы периода 1835 – 2040, годов.



*Рисунок 2 Прогнозная оценка динамики естественной смертности населения Дании в возрасте 67 лет [1].*

*Линии 1,2,3 - ♂; линии 4,5,6 - ♀; 1 и 4 – смертность; 2 и 5 - ожидаемый ход кривых смертности после 2010 года; 3 и 6 – основной тренд исторической динамики*

Качественный характер отклика показан на линиях 2 и 5.

Как будет выглядеть профиль отклика количественно в действительности, покажет время. Причина повышенной смертности на разных этапах исторического времени может быть разной и проявляться как омоложение онкологических и сердечно сосудистых заболеваний, а также в виде эпидемий по принципу «не золотуха так понос».

1 Германский А.М. Математическая модель накопления дефектов в ДНК и закономерности смертности людей. // Доклады МОИП. Том 55 Секция Геронтологии. Сборник статей. С 53-69. Москва, МОИП, 2013. 107 с.

2 А.М. Германский. Радиоактивный углерод в атмосфере и естественная смертность людей. LAP LAMBERT Academic Publishing (2019-01-10 )